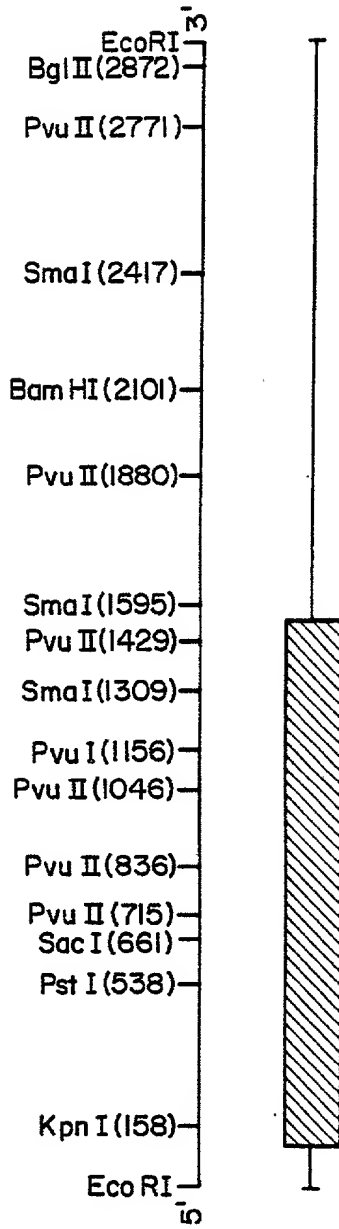


FIG. 1A**FIG. 1B-1**

1 GCCATCTGGCCCCAGGCCCATGCCCGAGGAGGGGGTGGTCTGAAGGCCACCAAGGCCCTGGCAAGACTGTCTCCCTTGACTG
 11 MetAlaSerAsnSerSerCysProThrProGlyGlyHISLeuAsnGlyTYrProValIProProTyraAlaPhe
 91 TGCCCGCTTGGCATGGCCAGCAACAGCAGCTCTGCCGACACCTGGGGGGGCACCTCAATGGGTACCCGGTACCCCTACGCCCTC
 31 PhePheProProMetLeuGlyGlyLeuSerProProGlyIYAIAleuThrThrLeuGlnHISGlnLeuProValSerGlyTyrSerThrPro
 41 TTCTTCCCCCTATCTGGGTGACTCTCCCAGGGCTCTGACCACTCTCCAGCACAGCTTCAGTTAGTGGATAAGCACACCA
 51
 61 SerProAlaThrIleGluThrGlnSerSerGluGluIleValProSerProProSerProProArgIleItyrLys
 81
 181 TCCCCAGCCACCAATTGAGACCCAGGCAGGAGATAGTGCCAACCCCTCTGAAAGAGATAGTGCCTACCCCGCATCTACAAG
 271

FIG. I-B-2

FIG. I B-3

FIG. 2A

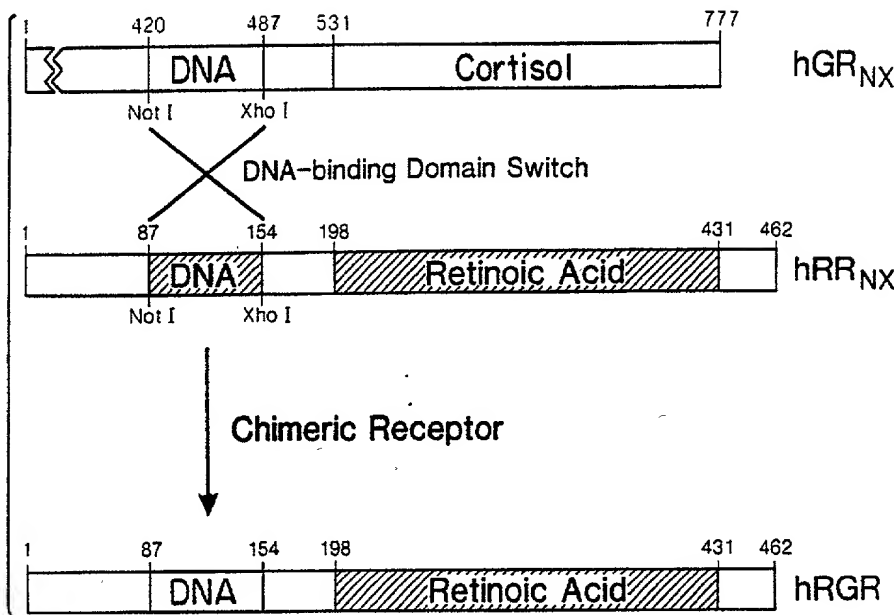


FIG. 2B

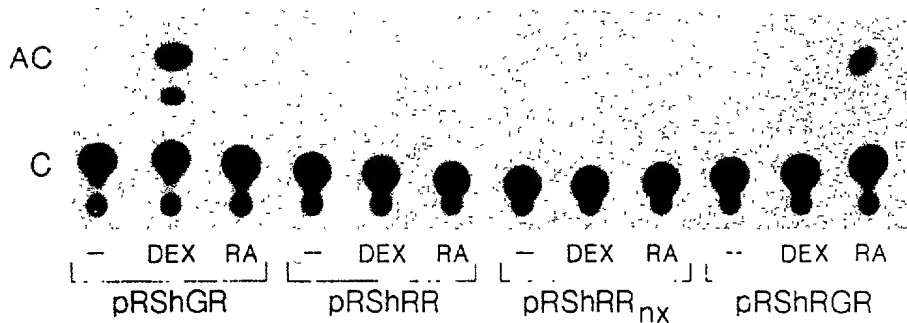


FIG. 3A

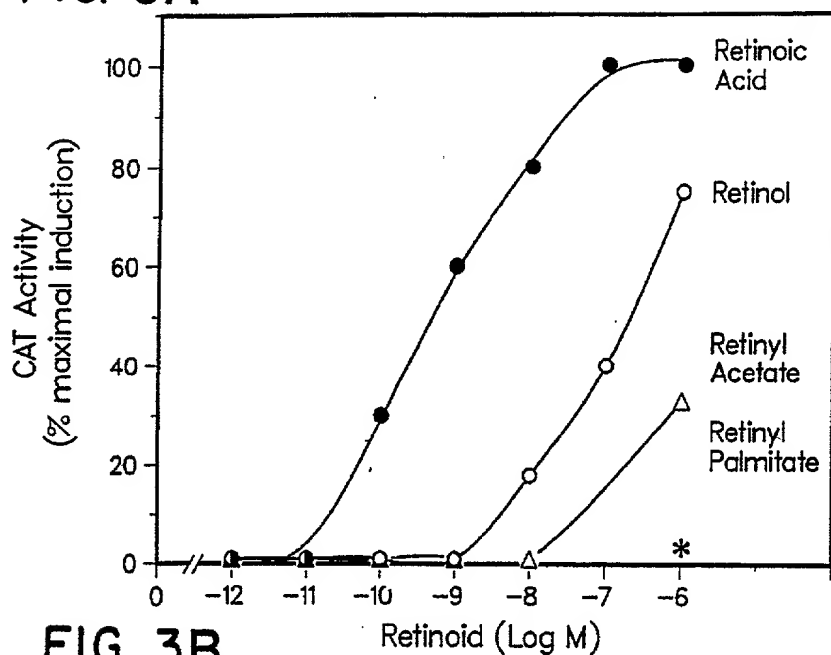


FIG. 3B

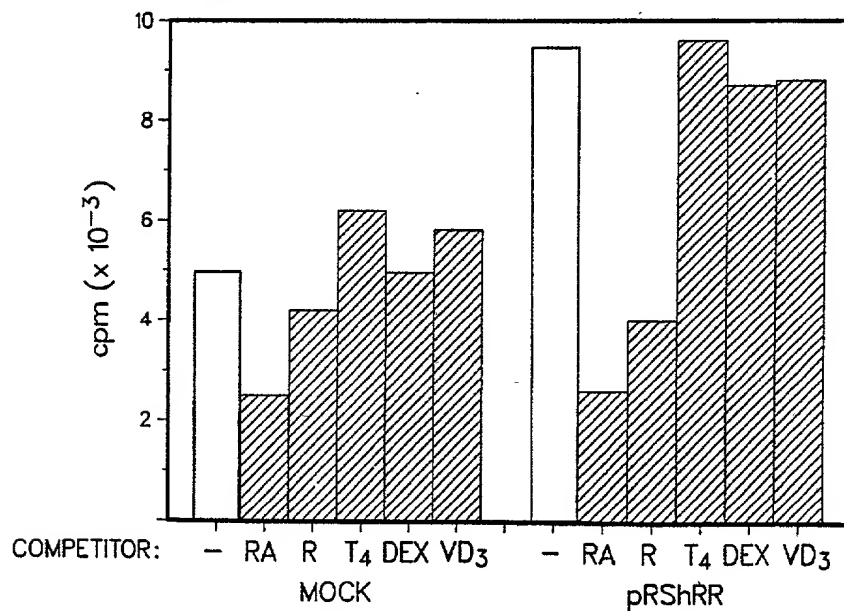


FIG. 4A

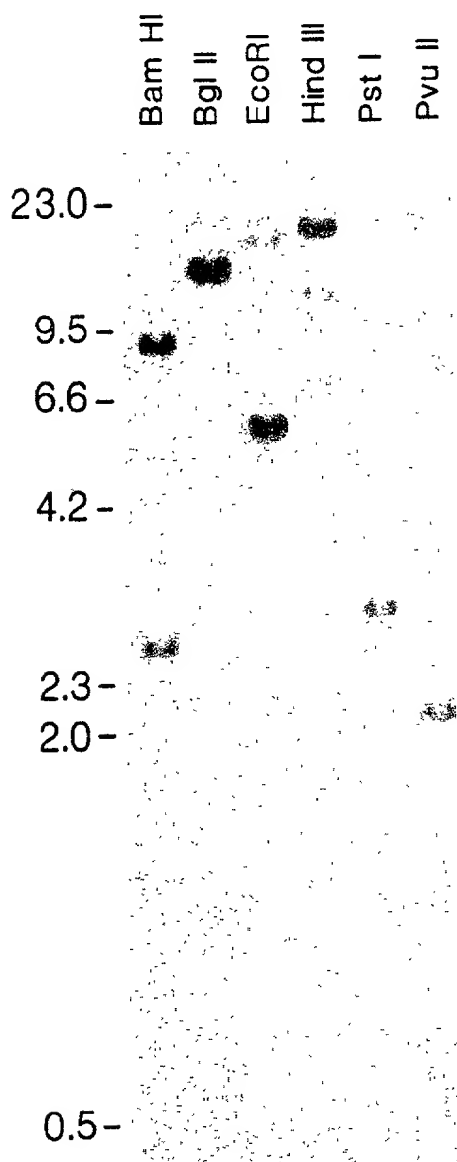


FIG. 4B

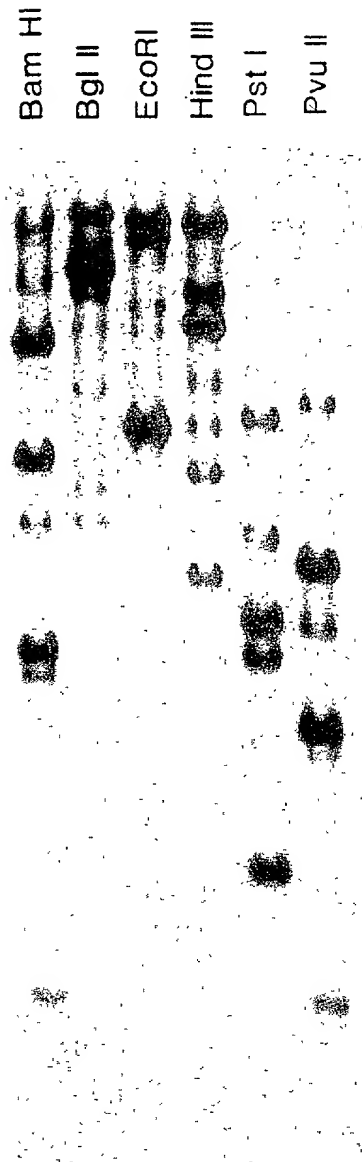


FIG. 5

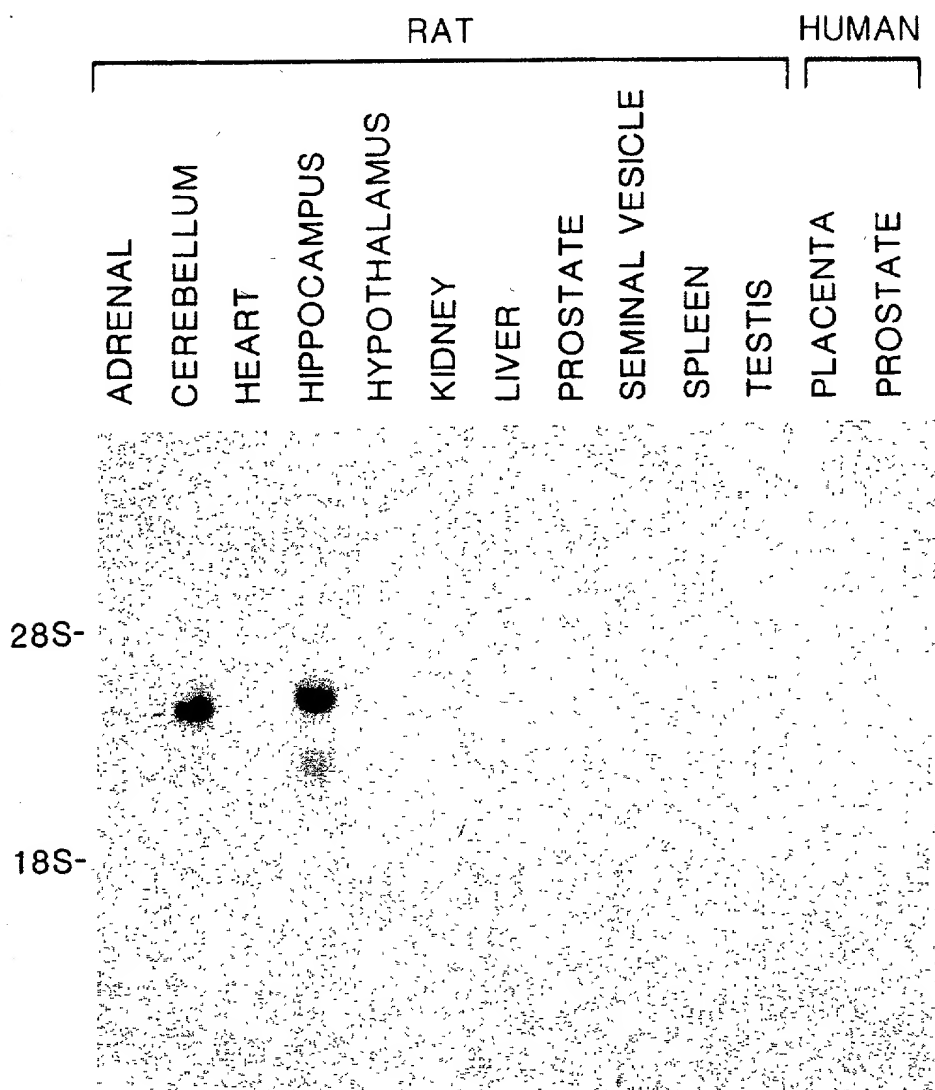


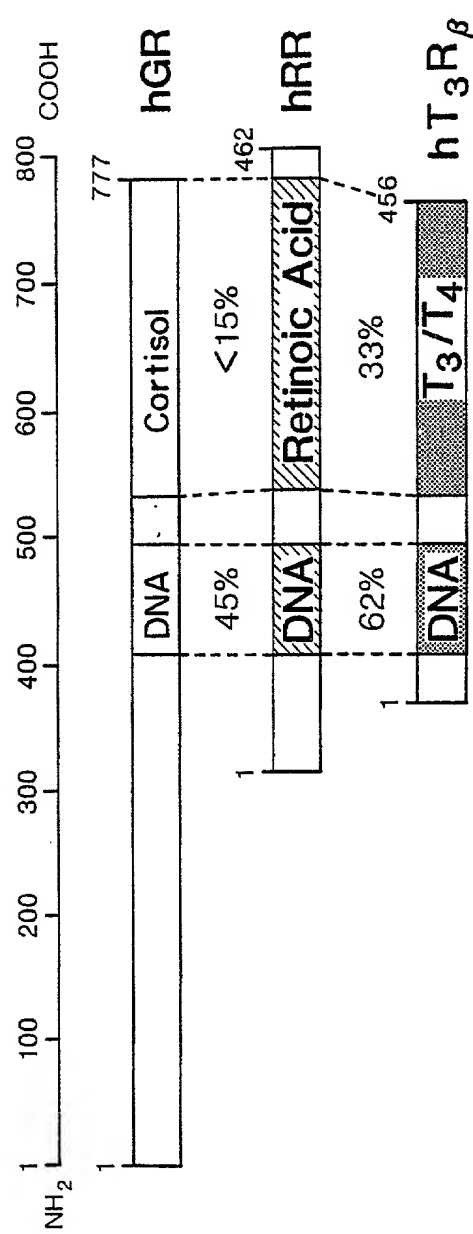
FIG. 6

FIG. 7

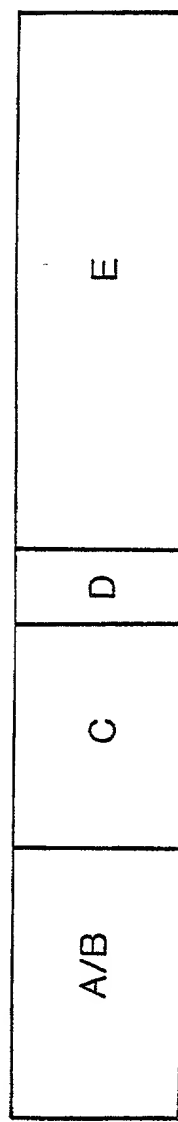


FIG. 8-1

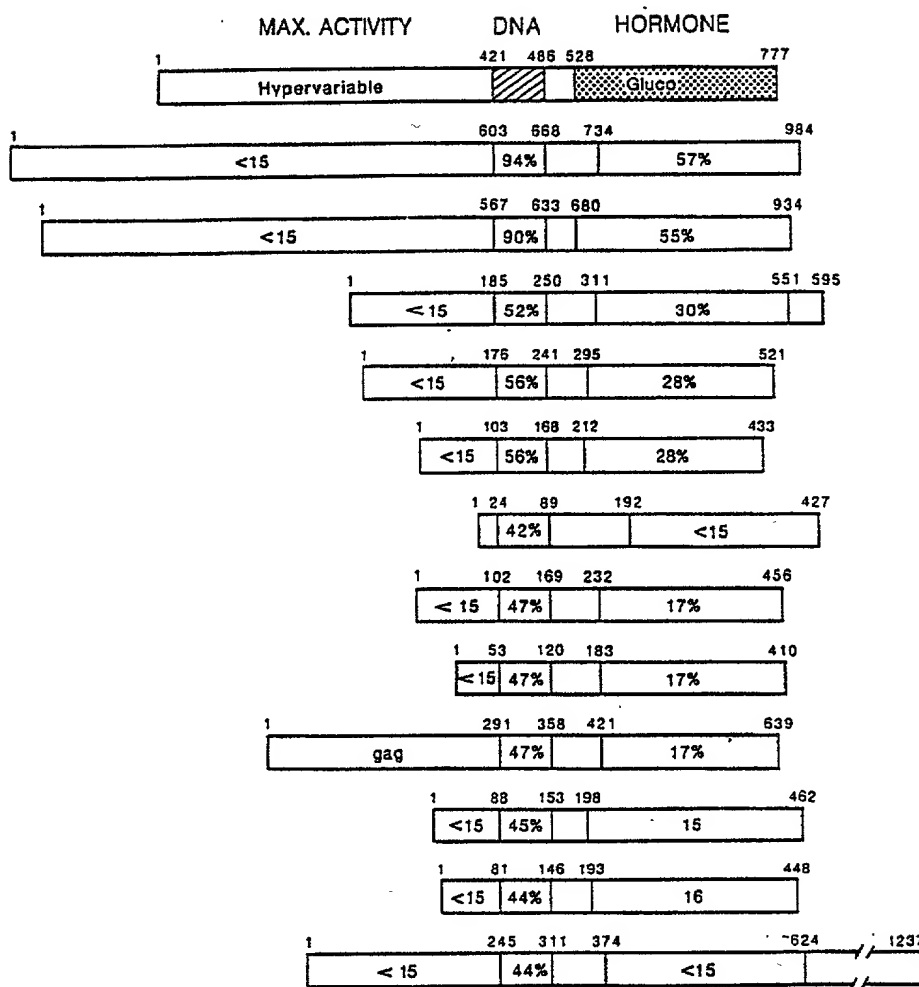


FIG. 8-2

६
EIG

